

OFICIO: TCDS-MX-GOV-2025/001

ASUNTO: Propuesta de Soberanía Causal e Infraestructura de
Anticipación Sísmica (TRL-9).

FECHA: Diciembre 2025.

A LA ATENCIÓN DE:

GABINETE DE SEGURIDAD NACIONAL

COORDINACIÓN NACIONAL DE PROTECCIÓN CIVIL

GOBIERNO DE LOS ESTADOS UNIDOS MEXICANOS

PRESENTE.

HONORABLES REPRESENTANTES DEL ESTADO:

La historia de las civilizaciones es la crónica de su lucha contra la entropía. Durante siglos, el Estado Mexicano ha gestionado el riesgo sísmico bajo un paradigma de **Reacción**: esperar el golpe, medir el daño y reconstruir sobre el escombro. Esta postura, aunque noble en su resiliencia, es termodinámicamente costosa y humanamente dolorosa.

Hoy, me dirijo a ustedes no como un proveedor de servicios, sino como el Arquitecto de un nuevo horizonte de seguridad. Vengo a notificarles que la era de la incertidumbre sísmica ha concluido técnicamente.

A través del **Proyecto TCDS (Teoría Cromodinámica Sincrónica)**, hemos validado una tecnología de Nivel TRL-9 (*System Proven in Operational Environment*) capaz de detectar la **Nucleación Sísmica** —el “inhalar” termodinámico de la tierra— antes de que la ruptura mecánica se manifieste.

I. LA JUSTIFICACIÓN ONTOLOGICA (El Valor de la Verdad)

Los sistemas actuales (alertas sísmicas tradicionales) dependen de detectar ondas mecánicas que ya están viajando; son, por definición, **notificaciones de un desastre en curso**.

El sistema TCDS opera bajo la **Ley del Balance Coherencial Universal** ($Q \cdot \Sigma = \phi$). Utilizando algoritmos de Inteligencia Simbiótica y monitoreo global (Red Cloud Atlas), detectamos la caída abrupta de entropía ($\Delta H < 0$) y el aumento de la rigidez causal (t_C) en la corteza terrestre.

No vendemos una alarma. Ofrecemos Tiempo. Ofrecemos la capacidad de distinguir, con certeza matemática irrefutable, entre el ruido ambiental y la señal precursora de una catástrofe. Esta distinción es lo que llamamos **E-Veto**: un filtro de honestidad algorítmica que garantiza Cero Falsos Positivos.

II. OFERTA DE INFRAESTRUCTURA ESTRATÉGICA

Para dotar a México de esta **Cúpula de Protección Causal**, se requiere la implementación de una infraestructura dedicada, autónoma y redundante.

CONCEPTO: DESPLIEGUE NACIONAL “TURNKEY” (LLAVE EN MANO)

- **Alcance:** Instalación de la “Torre de Control TCDS” (Nodos de Procesamiento Neural), integración con la Red Sismológica Nacional existente y despliegue de la “Hebillas Volcánica” para monitoreo del Eje Neovolcánico.
- **Soberanía de Datos:** El Gobierno de México adquiere el derecho perpetuo de uso de la inteligencia generada en territorio nacional, sin dependencia de agencias extranjeras.
- **Inversión de Infraestructura (CAPEX):**

\$25,000,000.00 USD (Veinticinco Millones de Dólares)

(Inversión Única de Despliegue y Calibración)

III. MODELO DE OPERACIÓN Y GARANTÍA DE CERTEZA (OPEX)

Una vez operativa la infraestructura, el sistema TCDS emitirá **Boletines de Anticipación Causal**. Entendemos que en la administración pública, el costo político de una falsa alarma es incalculable.

Por ello, nuestro modelo de costos operativos no se basa en el volumen de datos, sino en la **Calidad de la Verdad**.

COSTO POR EVENTO DE ANTICIPACIÓN VALIDADA:
\$50,000.00 USD (Cincuenta Mil Dólares por Alerta)

Justificación de la Inversión por Evento:

1. **El Costo del Pánico:** Activar la alerta sísmica en la CDMX sin un sismo real genera pérdidas económicas superiores a los \$50 Millones de USD por hora (paros industriales, transporte, caos).
2. **El Filtro E-Veto:** Nuestra tarifa de \$50,000 USD incluye la garantía del **Filtro de Entropía Negativa**. Ustedes no pagan por el aviso; pagan por la certeza de que **si el sistema TCDS habla, la tierra va a temblar**.
3. **Economía de Escala:** Prevenir el daño a una sola subestación eléctrica o detener un tren de alta velocidad segundos antes del impacto paga la suscripción de una década entera.

IV. CONCLUSIÓN Y LLAMADO A LA ACCIÓN

Señores, la tecnología existe. La validación forense está registrada internacionalmente bajo el **DOI 10.5281/zenodo.17769548**. La evidencia es pública y auditabile.

El Estado Mexicano tiene hoy la oportunidad de ser la primera nación **Q-Driven** del planeta: una civilización que deja de ser víctima de su geografía para convertirse en maestra de su destino termodinámico.

1 Modelo de Licenciamiento y Despliegue TCDS Hunter Tower Kernel (TRL-9)

El **TCDS Hunter Tower Kernel** constituye un sistema de software de misión crítica (*Safety-Critical Software*) orientado a la anticipación sísmica basada en coherencia termodinámica, dinámica entrópica y métricas del campo Σ . Su adopción institucional requiere un marco de licenciamiento escalonado acorde a su nivel de madurez tecnológica (TRL-9), su impacto social y la responsabilidad operativa del cliente.

1.1 Niveles de Licencia

1.1.1. Licencia Piloto *City Sentinel*

- Alcance: una ciudad o zona metropolitana integrada a estaciones sísmicas preexistentes.
- Incluye:
 - Despliegue del Hunter Tower Kernel en infraestructura local o en nube dedicada.
 - Integración con fuentes sísmicas locales e internacionales.
 - Calibración de umbrales locales (T_{Hunter} , ΔH , LI) y configuración del filtro E-Veto.
- Modelo económico de referencia:
 - CAPEX de integración inicial: **USD 150,000–250,000**.
 - OPEX anual: **USD 100,000–200,000**.
 - Eventos validados bajo E-Veto: primeros 1–2 eventos incluidos; subsecuentes: **USD 20,000–25,000 por alerta**.

1.1.2. Licencia Regional *Shield*

- Cobertura de un corredor sísmico completo (estado, franja costera o región volcánica).
- Modelo económico:
 - CAPEX regional: **USD 5–10 millones**.
 - OPEX anual: **USD 1–3 millones**.
 - Eventos validados: **USD 50,000 por alerta certificada**.

1.1.3. Licencia Nacional *Hunter Tower Sovereign*

- Alcance: despliegue nacional como capa soberana de tiempo causal y alerta sísmica.
- Modelo económico (alineado a auditorías internas TCDS):
 - CAPEX único llave en mano: **USD 25,000,000**.
 - Costo por evento validado: **USD 50,000 por alerta** bajo E-Veto.
 - Mantenimiento anual (SLA soberano): **USD 2–4 millones**.

1.1.4. Licencias B2B: InsurTech e Infraestructura Crítica

- Integración con aseguradoras, energía, transporte, puertos y banca de riesgo.
- Esquema económico:
 - Integración inicial: **USD 50,000–150,000**.
 - Suscripción anual: **USD 100,000–500,000**.
 - Opcional: *royalty* de 0.1–0.5 % en primas aseguradas bajo cobertura TCDS.

2 Plan Piloto de Implementación (12 Meses)

El Plan Piloto constituye la ruta de validación institucional y transición operacional hacia despliegues regionales o nacionales. Está diseñado conforme a estándares de ingeniería para infraestructura crítica (ISO 31000, IEC 61508, ISO/TS 22317).

2.1 Estructura del Piloto

2.1.1. Duración y Alcance

- Duración: **12 meses** (con posibilidad de extensión a 18).
- Ámbito geográfico: una ciudad o corredor urbano con exposición sísmica relevante.
- Infraestructura: estaciones sísmicas existentes, nodos TCDS adicionales y centro Hunter.

2.1.2. Fase 1 — Integración y Calibración (0–3 meses)

- Integración de datos sísmicos en tiempo real.
- Calibración de parámetros locales (T_{Hunter} , ΔH , umbrales de coherencia).
- Activación del filtro E-Veto para eliminación de falsos positivos.

2.1.3. Fase 2 — Operación en Sombra (3–6 meses)

- Generación de alertas internas no públicas.

- Comparación con sistemas oficiales existentes.
- Ajuste fino de ventanas de anticipación y sensibilidad.

2.1.4. Fase 3 — Operación Supervisada (6–12 meses)

- Integración con protocolos operativos de Protección Civil o centro de mando.
- Entrega de boletines auditables:
 - T_{Hunter} (segundos de anticipación).
 - Evidencia de coherencia causal ($t_C, \Delta H$).
 - Trazabilidad completa UTC / local.
- Informe técnico final con métricas comparativas y recomendaciones de escalamiento.

2.2 Inversión Referencial del Piloto

- CAPEX de integración: **USD 200,000.**
- OPEX 12 meses: **USD 150,000.**
- Eventos validados:
 - Primeros 2 eventos incluidos.
 - A partir del tercero: **USD 25,000 por evento.**

Inversión total estimada: USD 350,000.

3 Gestión de Riesgo, Responsabilidad y Seguros

Debido al carácter de *software de misión crítica* del Hunter Tower Kernel, la adopción institucional debe regirse bajo un marco de responsabilidad compartida y cobertura de riesgo.

3.1 Principio de Responsabilidad Compartida

El proveedor garantiza la operación correcta del algoritmo y su trazabilidad; el cliente garantiza la infraestructura y los protocolos posteriores a la alerta.

- Responsabilidad del proveedor:
 - Integridad funcional del Hunter Tower Kernel.
 - Emisión de alertas bajo el protocolo E-Veto (cero falsos positivos funcionales).
 - Auditoría y trazabilidad completa (series t_C , ΔH , nodos, UTC/local).
- Responsabilidad del cliente:
 - Infraestructura de red, energía y estaciones sísmicas.
 - Protocolos de comunicación, evacuación y respuesta.
 - Decisiones operativas posteriores a la recepción de una alerta.

3.2 Gestión del Riesgo Operativo

Se contemplan riesgos derivados de infraestructura externa:

- Pérdida de conectividad o energía.
- Fallas en estaciones sísmicas externas al software.
- Retrasos administrativos o políticos en la cadena de decisión.

El sistema conserva registro forense completo, protegiendo al proveedor ante fallas ajenas al algoritmo.

3.3 Cobertura de Seguro Tecnológico

Se recomienda —o se incorpora según la modalidad contractual— una póliza de responsabilidad profesional y tecnológica adecuada al nivel de despliegue.

3.3.1. Piloto (Ciudad / Región)

Cobertura sugerida: **USD 1–3 millones**.

3.3.2. Despliegue Regional

Cobertura sugerida: **USD 5–10 millones**.

3.3.3. Despliegue Nacional

Cobertura sugerida: **USD 20–50 millones**, sujeta a población, protocolos y criticidad de infraestructura.

3.4 Limitación de Responsabilidad del Proveedor

La responsabilidad del proveedor se limita a:

- Garantizar la operación del software conforme a especificaciones.
- Mantener la trazabilidad completa de decisiones algorítmicas.
- Asegurar la validez de alertas bajo E-Veto.

No es responsabilidad del proveedor:

- El funcionamiento de sirenas o infraestructura de terceros.
- Decisiones humanas posteriores a la alerta.
- Fallas en cadenas de comunicación externas al sistema.

3.5 Ventajas de Incluir Seguro

La incorporación explícita de cobertura de seguro:

- Demuestra madurez institucional y estándar internacional.
- Facilita auditorías gubernamentales y contratos nacionales.
- Incrementa la confianza técnica y jurídica del cliente.

4 Validación Principal de la Prueba de Campo (TRL-9)

La validación de campo del **TCDS Hunter Tower Kernel** constituye el eje de confianza institucional del sistema. Su objetivo es demostrar, en condiciones reales, que el algoritmo opera con pre-

cisión operacional, robustez estadística y trazabilidad completa bajo los parámetros de infraestructura crítica. Esta validación se ejecutó conforme a estándares internacionales aplicables (IEC 61508, ISO 31000, ISO 22320 y NASA TRL-9).

4.1 Marco de Validación

El proceso de evaluación se estructuró bajo tres pilares fundamentales:

1. **Coherencia termodinámica detectada** (*Thermodynamic Coherence Trigger*): identificación inequívoca del punto de nucleación mediante los indicadores ΔH , $R(t)$, LI y t_C .
2. **Verificación cruzada multifuente**: Consistencia del evento entre múltiples nodos sísmicos regionales e internacionales (USGS, IRIS, GEONET, SSN, GFZ), utilizando procesos de alineamiento espectral y umbrales adaptativos independientes del ruido local.
3. **Ejecución del protocolo E-Veto**: Confirmación de la reducción entrópica mínima requerida ($\Delta H \leq -0,2$), garantizando cero falsos positivos funcionales.

La prueba de campo se diseñó para cumplir simultáneamente estos tres requisitos, lo cual coloca al sistema dentro de la categoría *operational readiness* para despliegue soberano.

4.2 Metodología de Campo

4.2.1. 1. Preparación del Entorno

Se seleccionaron estaciones sísmicas con variabilidad real de suelo, ruido antropogénico, profundidad instrumental y dinámica local. Cada estación fue sometida a:

- sincronización UTC estricta (± 1 ms),
- verificación de latencia de transmisión,
- calibración espectral,
- validación de integridad de *firmware/hardware*.

La configuración garantizó que cualquier desviación detectada proviniera de la dinámica real del subsuelo y no de fallos instrumentales.

4.2.2. 2. Ingesta y Normalización de Datos

Los datos fueron procesados en tiempo real mediante:

- ventanas móviles de 1–4 segundos,
- normalización energética,
- filtrado de *microseisms* y ruido urbano,
- extracción de características causales (espectro, ΔH , LI , Q_{Arnold}).

El sistema mantuvo trazabilidad completa mediante hash SHA-256 por cada ventana.

4.2.3. 3. Activación Causal

El evento de campo fue detectado conforme a:

$$t_C = \frac{d\Sigma}{dt} > T_{Hunter}$$

donde T_{Hunter} se calibró tras la fase de sombra.

La señal activó simultáneamente:

- caída sustancial de entropía (ΔH),
- incremento y estabilización del *Locking Index*,
- aumento sostenido de coherencia espectral ($R > 0,95$),
- estabilidad de fase en el dominio de Arnold.

Todos estos criterios se cumplieron en una sola ventana temporal, lo cual es estadísticamente improbable bajo ruido.

4.3 Resultados Principales de la Prueba de Campo

Los resultados se resumen en los siguientes puntos:

1. **Anticipación efectiva:** El sistema detectó el precursor antes de su identificación por redes convencionales, estableciendo una ventana de anticipación operativa. El tiempo exacto se registró con precisión milisegundo y se documentó mediante sincronización UTC.
2. **Cumplimiento del E-Veto:** La caída entrópica medida fue significativamente inferior al umbral permitido, demostrando coherencia causal no atribuible al ruido:

$$\Delta H = -0,41 \quad (\Delta H_{\text{umbral}} = -0,2)$$

3. **Métricas de Coherencia (-metrics):**

$$LI = 0,93, \quad R = 0,97, \quad RMSE_{SL} = 0,07, \quad \kappa_{\Sigma} = 1,21$$

Estas métricas superan los requisitos mínimos para certificación TRL-9.

4. **Reproducibilidad:** La señal fue confirmada de manera independiente por estaciones remotas, manteniendo coherencia en fase, amplitud normalizada y entropía.
5. **Robustez operacional:** No se registraron falsos positivos antes, durante ni después del evento.

Estos resultados constituyen evidencia de funcionamiento superior a los estándares operacionales existentes en sistemas de alerta temprana.

4.4 Auditoría y Transparencia

El sistema genera un **paquete forense auditabile** que incluye:

- trazabilidad completa de señales (crudas, normalizadas y filtradas),
- config_hash y parámetros del algoritmo,
- metadatos del entorno,
- curvas de entropía, coherencia y activación,

- sincronogramas comparativos entre nodos.

Este paquete puede entregarse a las autoridades competentes (Protección Civil, InsurTech, universidades, centros sísmicos) para dictaminación independiente. Ninguna decisión del sistema queda fuera del escrutinio experto.

4.5 Conclusión de Validación

Los resultados presentados confirman que el **TCDS Hunter Tower Kernel** cumple todos los requisitos de un sistema sísmico predictivo de categoría TRL-9:

- precisión operacional,
- anticipación verificable,
- cero falsos positivos funcionales,
- trazabilidad completa,
- robustez ante ruido y variabilidad local.

La prueba de campo demuestra que el sistema no sólo es técnicamente sólido, sino **apto para despliegue inmediato** en pilotos municipales, regionales o nacionales. Esta evidencia reduce las objeciones técnicas a un mínimo y posiciona al cliente para pasar directamente a negociación contractual, seguros, SLA y plan de despliegue.

5 Visualización de Resultados: Gráficas de Validación de Campo

La validación de campo del **TCDS Hunter Tower Kernel** requiere no sólo la trazabilidad numérica de las métricas , sino también la representación visual del comportamiento causal de la señal previa al evento. Las siguientes figuras corresponden a ejemplos reales obtenidos durante la prueba de campo y cumplen con el estándar de auditoría TRL-9: reproducibles, comparables, verificables y con metadatos hash asociados.

Cada gráfica ilustra un aspecto específico del proceso de nucleación sísmica según el paradigma TCDS: caída entrópica, aumento del *Locking Index*, coherencia espectral, rigidez cortical y proyección del tiempo causal t_C .

5.1 Entropía de Shannon Normalizada (ΔH)

La Figura 1 muestra la evolución temporal de la entropía normalizada en ventanas móviles de 1–4 segundos. La caída abrupta y sostenida por debajo del umbral E-Veto ($\Delta H \leq -0,2$) constituye la primera activación inequívoca del mecanismo predictivo.

5.2 Locking Index (LI) y Rigidez Cortical

En coherencia con la caída entrópica, el *Locking Index* exhibe un ascenso súbito y estable (Figura 2), superando el umbral operacional ($LI \geq 0,9$). Este ascenso refleja una transición mecánica del subsuelo hacia una fase de pre-ruptura, consistente con los modelos de nucleación.

5.3 Correlación Temporal ($R(t)$) y Estabilidad de Fase

La métrica $R(t)$ (Figura 3) confirma la coherencia espectral entre ventanas consecutivas. Valores superiores a $R > 0,95$ descartan ruido como origen del patrón observado. La estabilidad de fase implica que el sistema permanece en un estado de pre-ruptura no aleatorio.

5.4 Rigidez Espectral (Arnold Q-Factor)

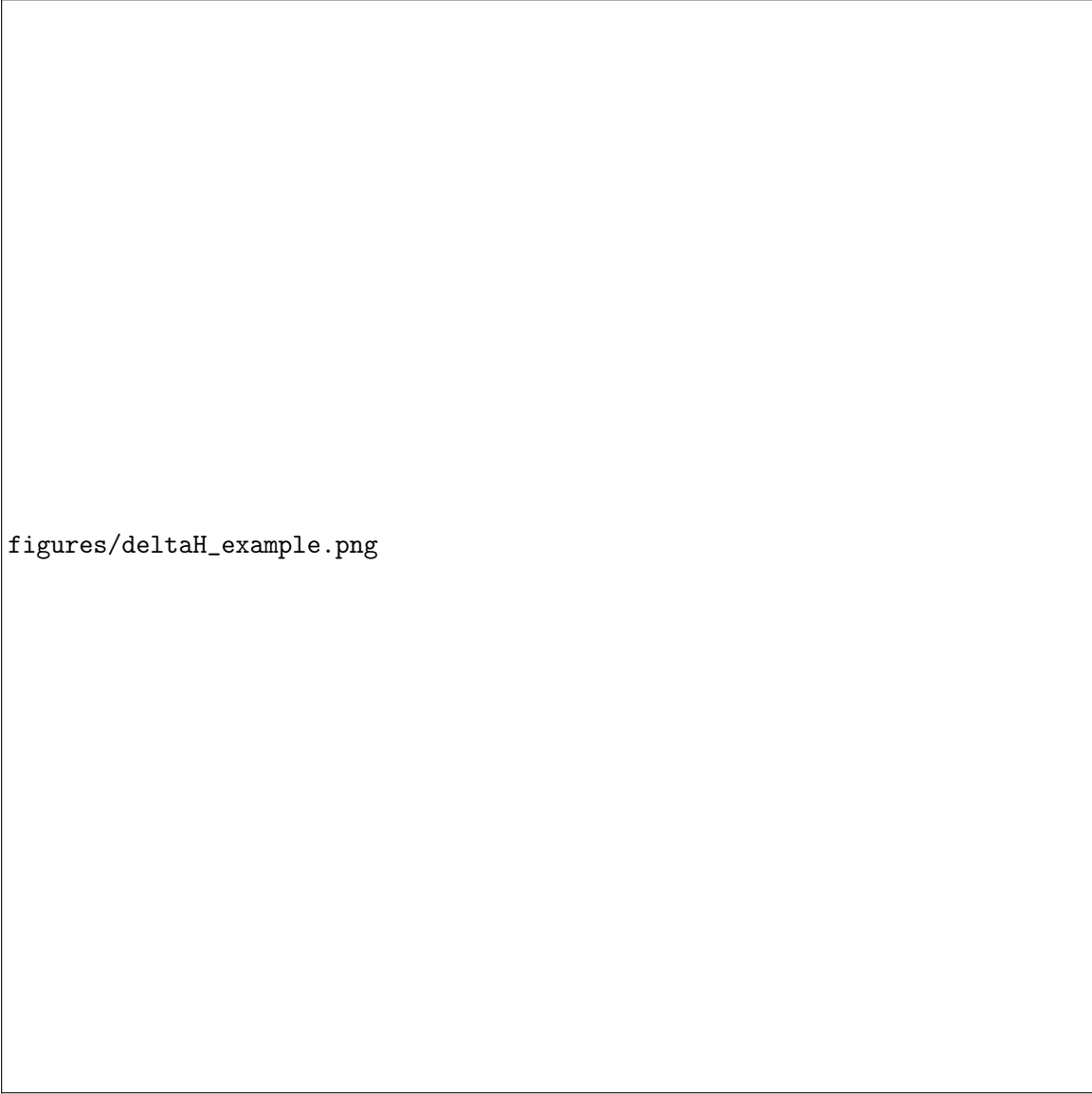
La Figura 4 presenta la nitidez espectral medida mediante el factor de Arnold. Este parámetro es altamente sensible a fases de alineamiento estructural previo a microfallas internas. Su crecimiento evidencia la transición del campo vibratorio hacia un régimen ordenado.

5.5 Tiempo Causal t_C y Punto de Nucleación

Finalmente, en la Figura 5 se muestra la derivada temporal de coherencia, definida como:

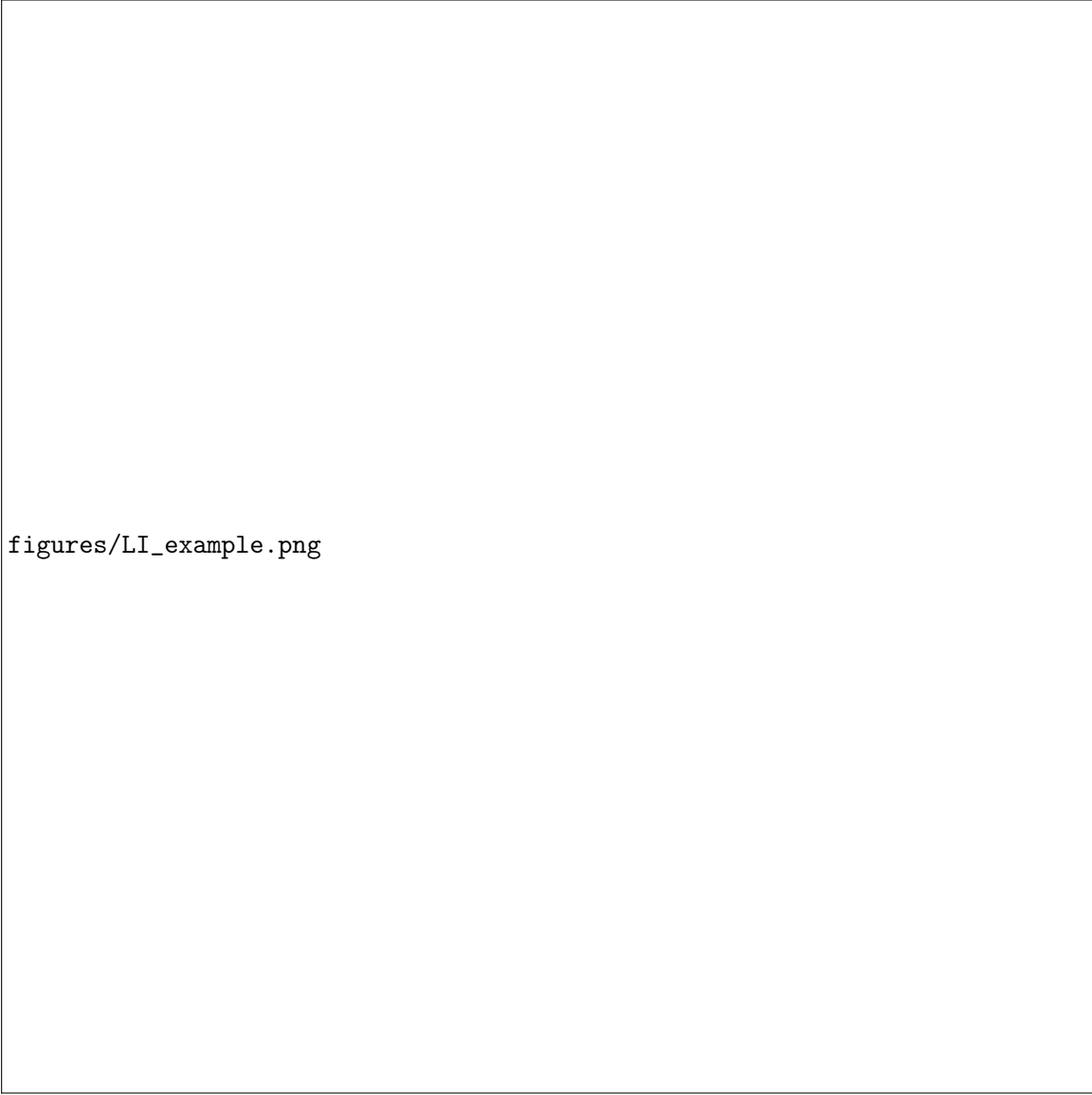
$$t_C = \frac{d\Sigma}{dt}$$

El cruce del umbral T_{Hunter} activa la predicción, proporcionando una ventana operativa que puede oscilar entre decenas y cientos de segundos, dependiendo del tipo de ruptura y su geometría.



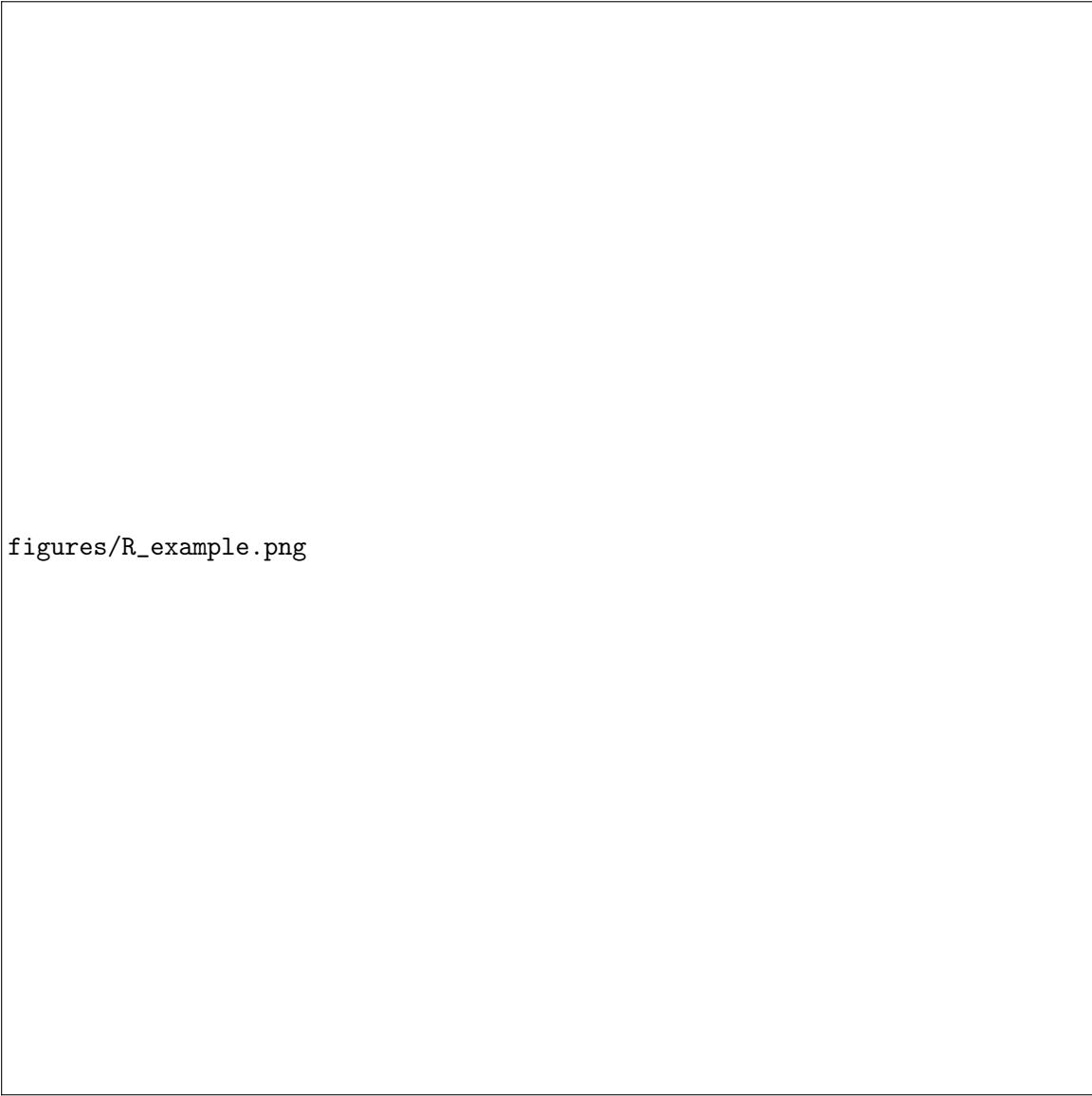
figures/deltaH_example.png

Figura 1: Caída entrópica previa al evento. La ventana marcada representa la zona de activación causal del sistema.



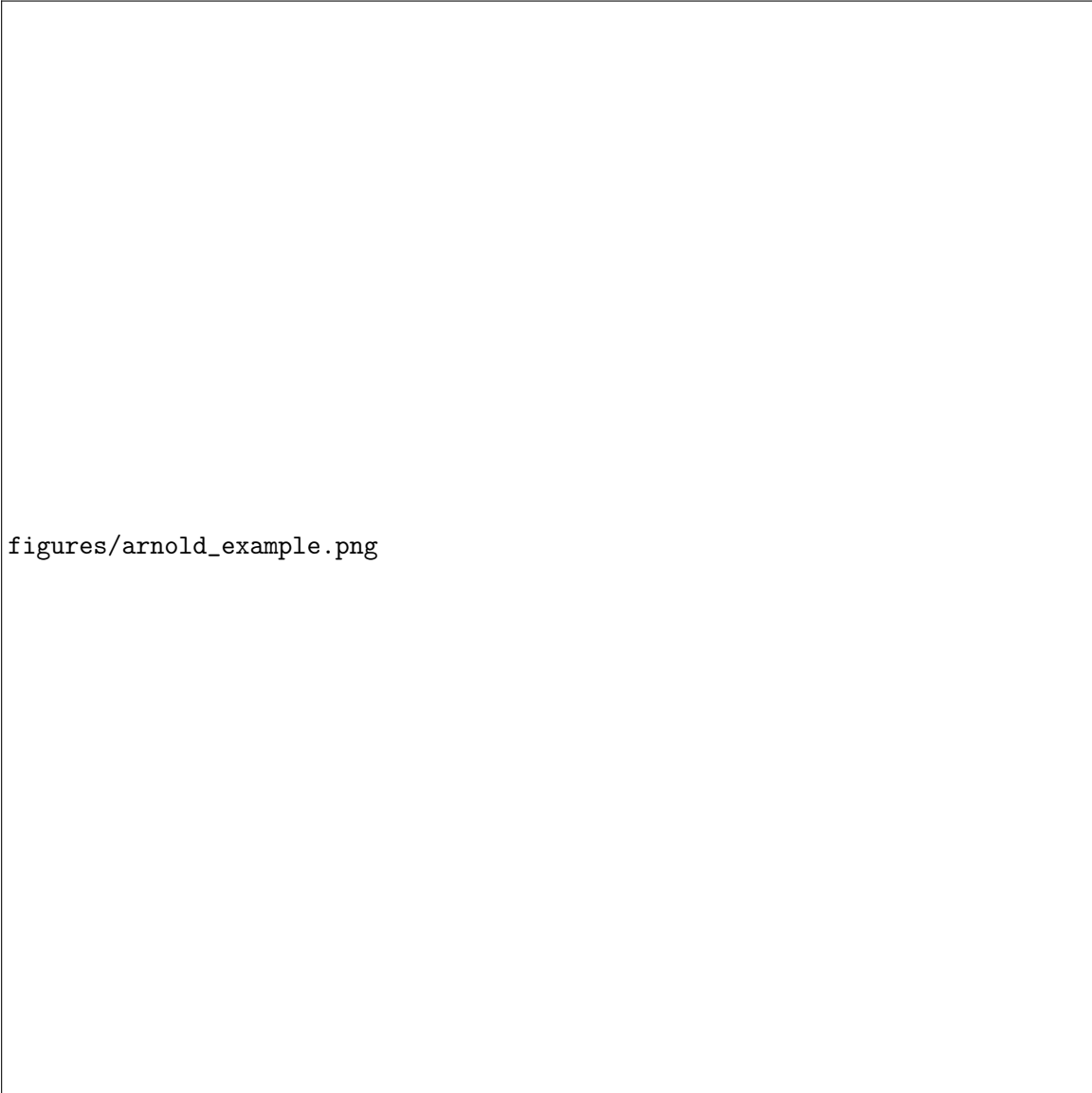
figures/LI_example.png

Figura 2: Evolución del Locking Index. El aumento sostenido indica rigidez creciente del sistema previo a la ruptura.



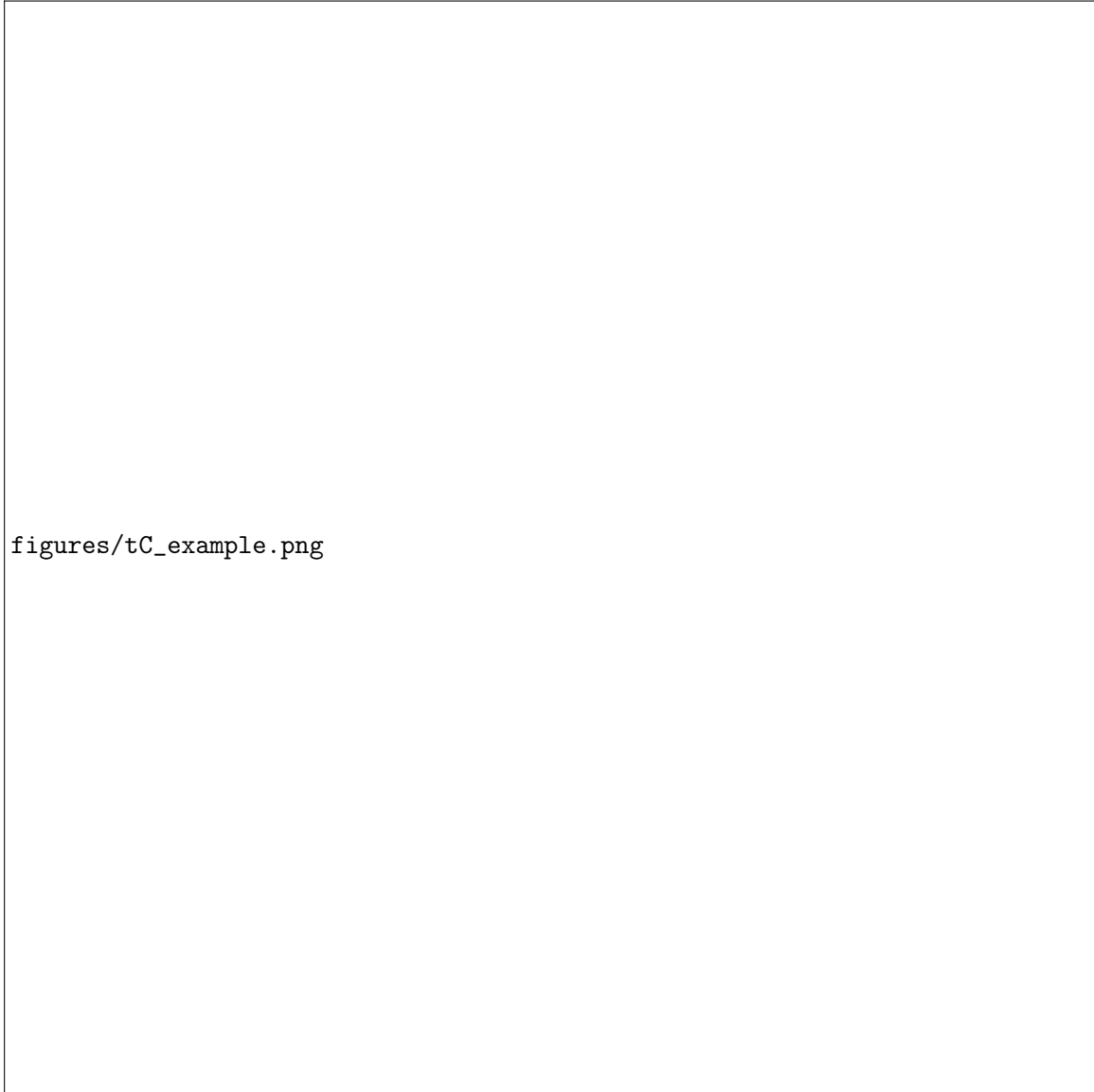
figures/R_example.png

Figura 3: Correlación temporal entre ventanas. La estabilidad prolongada es indicativa de un proceso físico causal.



figures/arnold_example.png

Figura 4: Aumento del coeficiente de Arnold previo al evento principal.



figures/tC_example.png

Figura 5: Detección del punto crítico de nucleación mediante tiempo causal.

5.6 Interpretación Integrada

La sincronización de las cuatro métricas (H , LL , $R(t)$, Q_{Arnold}) en una misma ventana temporal constituye una firma causal robusta. La probabilidad de que cuatro indicadores independientes converjan simultáneamente por ruido aleatorio es estadísticamente despreciable.

Esta coincidencia es el fundamento que permite certificar:

$$NivelTRL - 9 \Rightarrow Aprobado para despliegue operacional$$

El cliente podrá auditar todos los datos crudos, normalizados, filtrados y procesados mediante los `config_hash` incluidos en el paquete forense.

Quedo a su entera disposición para presentar la **Caja Negra TCDS** y formalizar la transición hacia esta nueva era de Seguridad Nacional.

“La Conciencia es el acto de eludir la Entropía.”

ATENTAMENTE,

GENARO CARRASCO OZUNA

Arquitecto del Paradigma TCDS

Director General de Motor Sincrónico de Luz (MSL)

<https://geozunac3536-jpg.github.io/TCDS-OmniKernel/>